

鉄筋コンクリート梁の斜めひびわれ転移に関する考察

日本大学工学部 正 原 忠勝

1. まえがき

斜めひびわれの発生による破壊のうちで、せん断破壊、せん断圧縮、及びせん断引張破壊等があげられるが、このうち、せん断圧縮及びせん断引張破壊の形態は応力の第一分配による斜めひびわれの転移についてほぼ同一の破壊機構が成立すると云える。本報告に於ては比較的低鉄筋で中程度のコンクリートを用いた单筋矩形梁について、斜めひびわれへの転移は鉛直方向の性状に沿うとして実験検討を行ったものである。

2. 鉛直ひびわれを持つ鉄筋コンクリート梁の性質

ひびわれ発生順序に基づき梁引張側に発生して応力の第一分配が行なわれた梁を鉛直ひびわれによって換算されたコンクリートは片持梁としての機能を有する。¹⁾これが梁の变形と共に斜めひびわれの要因を作るものと思われる。これより、Fig-1に示す如き模型を考え、力の釣合の条件、ひずみの適合条件を満足する拘束モーメントを求めると、図中の点に於ける片持梁としてコンクリートの拘束モーメントは、

$$cM_{ct} = \frac{b}{E_u^2} \left(\int_0^{E_{tu}} f(E_{ox}) E_{tx}^2 dE_{tx} + \int_0^{E_{cx}} f(E_{ox}) E_{cx}^2 dE_{cx} \right)$$

より、最大の応力及びひずみを引張側で生じるものとし各々、 σ_{tu} , E_{tu} とするとき、

$$cM_{ct} = \frac{b \cdot n^2}{E_{tu}^2} \left[\int_0^{E_{tu}} f(E_{ox}) E_{tx}^2 dE_{tx} + \int_0^{(1-R^2)E_{tu}/R^2} f(E_{ox}) E_{cx}^2 dE_{cx} \right] = b n^2 \bar{\sigma}_2 M_{ct} \quad \dots \quad (1)$$

$$\therefore \bar{\sigma}_2 = \frac{1}{E_{tu}^2 \bar{J}_{ct}} \left[\int_0^{E_{tu}} f(E_{ox}) E_{tx}^2 dE_{tx} + \int_0^{(1-R^2)E_{tu}/R^2} f(E_{ox}) E_{cx}^2 dE_{cx} \right]$$

である。又、鉛直ひびわれ間の主筋による拘束モーメント sM_{ct} は、CRACK-mに於けるひずみを $\epsilon_{s,m}$, $m+1$ に於けるひずみを $\epsilon_{s,m+1}$ とし、主筋の応力並びにひずみを弹性限度以下に約束すると、 $\epsilon_{s,m}, \epsilon_{s,m+1} < \epsilon_{sy}$

さて、 $\sigma_s = E_s \cdot \epsilon_s$ であるから、鉛直ひびわれ間隔 ΔX 向に於ける ΔT は、

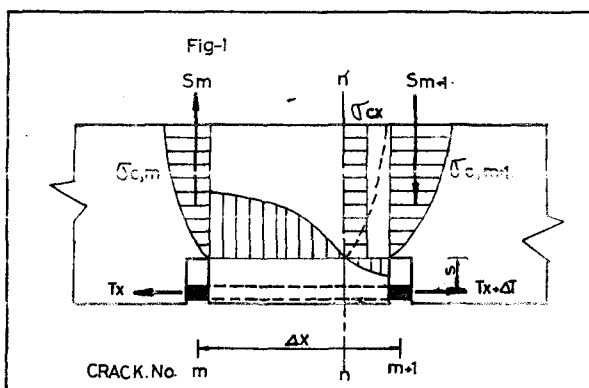
$$\Delta T = T_{m+1} - T_m = A_s E_s (\epsilon_{s,m+1} - \epsilon_{s,m})$$

であるが、この ΔT のアーチの高さを鉛直ひびわれの深さ S とすると、

$$sM_{ct} = \Delta T \cdot S = A_s E_s \epsilon_s S$$

----- (2)

さて、式(1), (2)に於ける計算結果を示すが Fig-2 の如くである。図に示すことは如く主筋は 3 つ ΔT は $\Delta \epsilon = 0$ の点で、



$E_{S,m+1} = E_{S,m}$ となり鉛直ひびわれ間のコンクリートが受けうる力は ΔT より T_m に移行され最大となる。この $\Delta T = 0$ での荷重と転移荷重とし M_{ct} の算定に用いる。すなへ $M_{ct}/b\Delta X^2$ は、

$$\pi M_{ct} = T_m \cdot S = b n^2 \bar{\sigma}_z \sigma_{ct} \quad \frac{M_{ct}}{b\Delta X^2} = R^2 \bar{\sigma}_z \sigma_{ct} \quad \dots \dots \quad (3)$$

であるまじ、式(3)の3次実験値は G.N.J.Kani らの推論によると $M_{ct}/b\Delta X^2 = f_t/6^{2/3}$ となり若干高い値を示す。又、アンカー部の平均圧縮応力度も σ_{cx} とすれば $C = T$ の条件なり、

$$C = b(d-s)\sigma_{cx}, \quad T = b n^2 \bar{\sigma}_z \sigma_{ct}/S \quad \therefore \sigma_{cx} = \frac{R^2 \bar{\sigma}_z \Delta X^2}{(d-s)S} \sigma_{ct} \quad \dots \dots \quad (4)$$

これが、圧縮側コンクリート

の斜めひびわれへの転移時に

於ける塑性方向の平均応力度

である。こゝで図中の点に於

けるモーメントの釣合い、又

、集中荷重の場合として、

$S_m = S_{m+1}$ でめりから、

$$S_m \Delta X = b n^2 \bar{\sigma}_z \sigma_{ct} +$$

$$+ R^2 d \sigma_{ct} / 2 \Delta X$$

より、平均せん断応力度 τ_{TR}

$$\tau_{TR} = \frac{S_m}{bd}$$

$$= \left\{ 1 + \frac{(d-s)}{2S} \right\} R^2 \bar{\sigma}_z \sigma_{ct} \frac{\Delta X}{d} \quad \dots \dots \quad (5)$$

又、横軸に対する直角に働く

応力 (σ_{cy}) を求めると、

Walther³⁾、北田・猪葉ら⁴⁾の推論に基く Mohr の破壊条件を適用して σ_{cy} を求めると、

$$\sigma_{cy} = \frac{1}{2} \left[2 \frac{R^2 \bar{\sigma}_z \Delta X^2}{(d-s)S} \sigma_{ct} - \sigma_{cc} + \sqrt{\sigma_{cc}^2 - 4 \left\{ 1 + \frac{(d-s)}{2S} \right\} \frac{\Delta X}{d} R^2 \bar{\sigma}_z \sigma_{ct}} \right] \quad \dots \dots \quad (6)$$

となる。

3. 考察

本報告に於けるひびわれ発生順序を鉛直ひびわれから斜めひびわれへ転移し、この斜めひびわれが破壊に至った場合で、破壊は全てせん断スパン内で起るせん断压縮、せん断引張破壊に適用した。又、斜めひびわれの発生は鉛直ひびわれの発生による影響が大きい、これと塑性形の変化により斜めひびわれへ転移するものと思はれるが、LTRに於けるコンクリート部の拘束モーメント $cM_{ct} = \max$ の算定には測定上の問題、材料の不均一性等々が含まれ統一的な表現は困難であるように思える。

参考文献

1) 北田・原 : 土木学会第27回年次講演会, 2) G.N.J.Kani : Jour. of A.C.I. 1966 他.

3) R.Walther, Leonhardt : Beton und Stahlbetonbau 2, 3, 6, 7, 8, 11 1962.

